



**РусКрипто**

**XXVII**

**НАУЧНО-ПРАКТИЧЕСКАЯ  
КОНФЕРЕНЦИЯ**

# О ПРИМЕНЕНИИ КВАНТОВО-ВЫЧИСЛИТЕЛЬНЫХ МЕТОДОВ В НЕКОТОРЫХ АТАКАХ НА АЛГОРИТМ «МАГМА»

**АНДРЕЙ ЩЕРБАЧЕНКО**

ООО «СФБ Лаб»

РусКрипто'2025

20 марта 2025

[andrey.shcherbachenko@sfblaboratory.ru](mailto:andrey.shcherbachenko@sfblaboratory.ru)



# ВВЕДЕНИЕ

## КВАНТОВЫЕ ВЫЧИСЛЕНИЯ В КРИПТОГРАФИИ

- Квантовые компьютеры представляют угрозу для криптографических алгоритмов

# ВВЕДЕНИЕ

## КВАНТОВЫЕ ВЫЧИСЛЕНИЯ В КРИПТОГРАФИИ

- Квантовые компьютеры представляют угрозу для криптографических алгоритмов
- Универсальный метод для ключевых алгоритмов – перебор ключей за  $\sqrt{2^k}$  операций с использованием алгоритма Гровера

# ВВЕДЕНИЕ

## КВАНТОВЫЕ ВЫЧИСЛЕНИЯ В КРИПТОГРАФИИ

- Квантовые компьютеры представляют угрозу для криптографических алгоритмов
- Универсальный метод для ключевых алгоритмов – перебор ключей за  $\sqrt{2^k}$  операций с использованием алгоритма Гровера
- Актуально исследование квантовых атак, направленных на конкретные конструктивные свойства шифров

# МОДЕЛИ КВАНТОВОГО ПРОТИВНИКА

## Модель Q1

- Противник имеет классический доступ к оракулу
- Неизвестно эффективных атак на симметричные механизмы (с трудоемкостью лучше, чем корневая)

Примеры: алгоритмы Гровера, Шора

# МОДЕЛИ КВАНТОВОГО ПРОТИВНИКА

## Модель Q1

- Противник имеет классический доступ к оракулу
- Неизвестно эффективных атак на симметричные механизмы (с трудоемкостью лучше, чем корневая)

Примеры: алгоритмы Гровера, Шора

## Модель Q2

- Противник имеет квантовый доступ к оракулу
- Известны эффективные атаки на некоторые механизмы и режимы

Примеры: полиномиальные атаки на конструкции Even-Mansour, Wegman-Carter, CBC-MAC, GMAC

# АЛГОРИТМ «МАГМА»

Ключ  $K = (k_1, k_2, \dots, k_8) \in V^{256}$

Длина блока  $n = 64$  бит

Сеть Фейстеля, 32 раунда

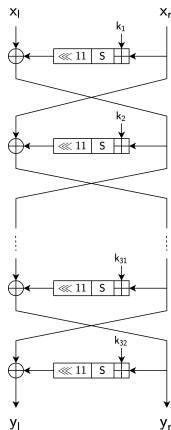
Раундовые ключи:

$\underbrace{k_1, \dots, k_8}_{1-8}, \underbrace{k_1, \dots, k_8}_{9-16}, \underbrace{k_1, \dots, k_8}_{17-24}, \underbrace{k_8, \dots, k_1}_{25-32}$



ГОСТ 34.12-2018

«ИНФОРМАЦИОННАЯ ТЕХНОЛОГИЯ.  
КРИПТОГРАФИЧЕСКАЯ ЗАЩИТА  
ИНФОРМАЦИИ. БЛОЧНЫЕ ШИФРЫ»



# МЕТОД ИСОБЕ

Событие типа «точка отражения»

$$E^8(E^8(E^8(X))) = z \parallel z$$

$$P_{ref} = 2^{-32}$$

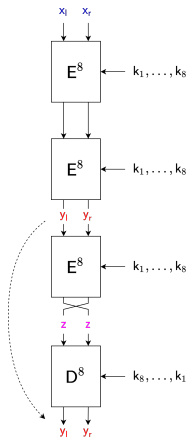
Трудоемкость атаки:

$$\underbrace{2^{32}}_{\text{пар от/шт}} \left( \underbrace{2^{192}}_{\substack{\text{MITM} \\ 16 \text{ раундов}}} + \underbrace{2^{192}}_{\substack{\text{опробование} \\ \text{ключей}}} \right) \geq 2^{224}$$



T. ISOBE (2011)

## A SINGLE-KEY ATTACK ON THE FULL GOST BLOCK CIPHER



# МЕТОД ДИНУРА-ДУНКЕЛЬМАНА-ШАМИРА

Событие типа «фиксированная точка»

$$E^8(X) = X$$

$$P_{fix} = 2^{-64}$$

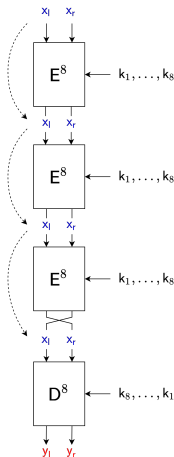
Трудоёмкость атаки:

$$\underbrace{2^{64}}_{\text{пар от/шт}} \left( \underbrace{2^{128}}_{\substack{\text{MITM} \\ 8 \text{ раундов}}} + \underbrace{2^{128}}_{\substack{\text{опробование} \\ \text{ключей}}} \right) \geq 2^{192}$$



I. DINUR, O. DUNKELMAN, A. SHAMIR (2012)

**IMPROVED ATTACKS ON FULL GOST**



## ОБЩАЯ СХЕМА АТАКИ

Противнику известны  $q$  пар ОТ/ШТ:  $(X_1, Y_1), \dots, (X_q, Y_q)$

**Трудоемкость:**  $q(T_{mitm} + T_{test})$

## ОБЩАЯ СХЕМА АТАКИ

Противнику известны  $q$  пар ОТ/ШТ:  $(X_1, Y_1), \dots, (X_q, Y_q)$

1. Противник опробует  $q$  пар ОТ/ШТ (предполагая, что событие в опробуемой паре реализовалось),
  - 1.1 выполняет MITM-атаку на 8/16 раундов шифра,
  - 1.2 формирует списки  $L_1, \dots, L_q$  подходящих ключей.

**Трудоемкость:**  $q(T_{mitm} + T_{test})$

## ОБЩАЯ СХЕМА АТАКИ

Противнику известны  $q$  пар ОТ/ШТ:  $(X_1, Y_1), \dots, (X_q, Y_q)$

1. Противник опробует  $q$  пар ОТ/ШТ (предполагая, что событие в опробуемой паре реализовалось),
  - 1.1 выполняет MITM-атаку на 8/16 раундов шифра,
  - 1.2 формирует списки  $L_1, \dots, L_q$  подходящих ключей.
2. Противник выполняет опробование ключей в списках  $L_i$  на дополнительных парах ОТ/ШТ

**Трудоемкость:**  $q(T_{mitm} + T_{test})$

# АЛГОРИТМ ГРОВЕРА (1)

## АЛГОРИТМ ГРОВЕРА (КВАНТОВЫЙ ПОИСК)

$f : \{0, 1\}^N \rightarrow \{0, 1\}$  – булева функция от  $N$  переменных, доступ к которой задается оракулом

$$O_f |x\rangle_N |y\rangle = |x\rangle_N |y \oplus f(x)\rangle$$

**Задача:** найти  $x \in \{0, 1\}^N$ , такой, что  $f(x) = 1$ .



L. GROVER (1996)

**A FAST QUANTUM MECHANICAL ALGORITHM FOR DATABASE SEARCH**

## АЛГОРИТМ ГРОВЕРА (2)

### ПСЕВДОКОД АЛГОРИТМА ГРОВЕРА

1. Инициализировать систему в состоянии  $|0^{\otimes N}\rangle|1\rangle$ ;
2. Применить оператор  $H^{\otimes N+1}$ ;  $// \frac{1}{\sqrt{2^N}} \sum_{x \in \{0,1\}^N} |x\rangle \otimes |-\rangle$
3. Для  $i := 1$  до  $t = \left\lfloor \frac{\pi}{4} \sqrt{N} \right\rfloor$ :
  - 3.1 Вызвать  $O_f$ ;
  - 3.2 Применить  $H^{\otimes N} \otimes I$ ;
  - 3.3 Применить  $(2|0^{\otimes N}\rangle\langle 0^{\otimes N}| - I^{\otimes N}) \otimes I$ ;
  - 3.4 Применить  $H^{\otimes N} \otimes I$ ;
4. Провести измерение.

**Сложность:**  $O(\sqrt{2^N})$  итераций.

# QRAM: КВАНТОВАЯ ОПЕРАТИВНАЯ ПАМЯТЬ

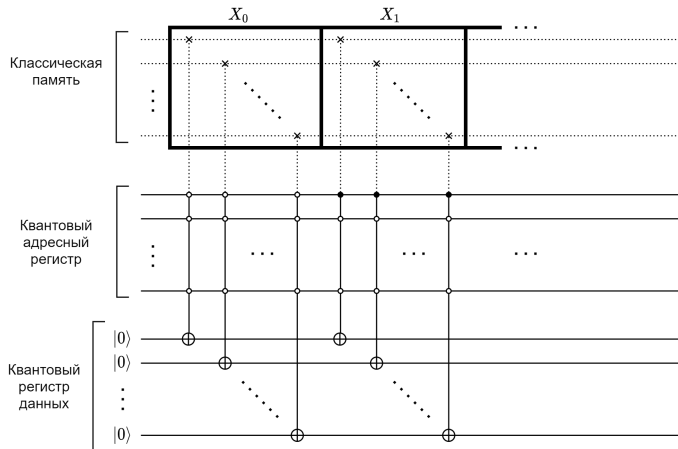
## 1. QRACM (Classical Memory with Quantum Random Access)

$$X_0 X_1 \dots X_{M-1} |i\rangle |y\rangle \xrightarrow{\text{QRACM}} X_0 X_1 \dots X_{M-1} |i\rangle |y \oplus X_i\rangle$$

## 2. QRAQM (Quantum Memory with Quantum Random Access)

$$|X_0 X_1 \dots X_{M-1}\rangle |i\rangle |y\rangle \xrightarrow{\text{QRAQM}} |X_0 X_1 \dots X_{M-1}\rangle |i\rangle |y \oplus X_i\rangle$$

# QRASM: ЭКВИВАЛЕНТНАЯ ЛИНЕЙНАЯ СХЕМА



**Сложность запроса:  $O(M \log M)$**

# МЕТОД 1: ПОСЛЕДОВАТЕЛЬНЫЙ ПОИСК

1. Противник классическим образом формирует  $q$  списков  $\approx 2^{\lfloor 256 - 2 \log_2 q \rfloor}$  ключей  $L_1, \dots, L_q$

**Трудоемкость:**  $T_{M1} = q(T_{mitm} + \sqrt{T_{test}}) \geq 2^{192} / 2^{224}$

**Память:**  $2^{128}$  классических ячеек,  $\geq 512$  кубит.

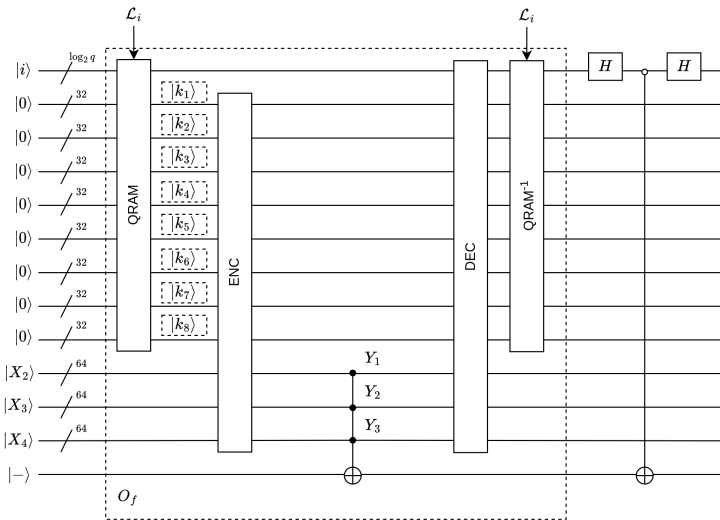
## МЕТОД 1: ПОСЛЕДОВАТЕЛЬНЫЙ ПОИСК

1. Противник классическим образом формирует  $q$  списков  $\approx 2^{\lfloor 256 - 2 \log_2 q \rfloor}$  ключей  $L_1, \dots, L_q$
2. В каждом списке выполняется квантовый поиск с использованием QRACM на 3-х дополнительных парах ОТ/ШТ –  $2^{\lfloor L_i \rfloor / 2}$  итераций

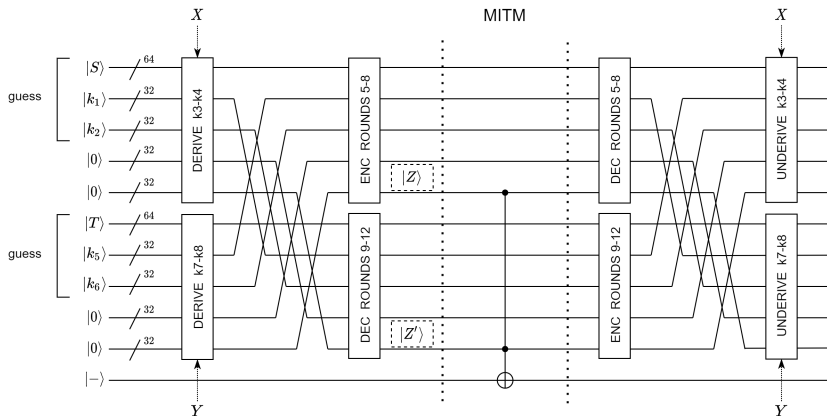
**Трудоемкость:**  $T_{M1} = q(T_{mitm} + \sqrt{T_{test}}) \geq 2^{192} / 2^{224}$

**Память:**  $2^{128}$  классических ячеек,  $\geq 512$  кубит.

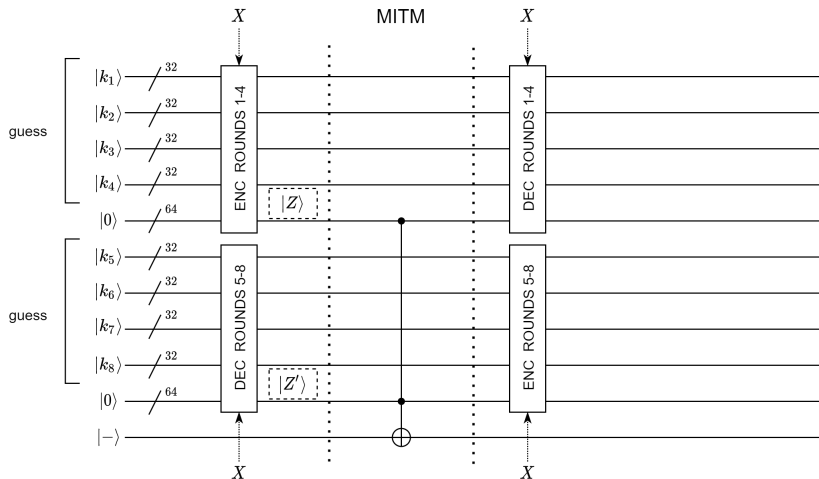
# МЕТОД 1: ОДНА ИТЕРАЦИЯ



## MITM-ОРАКУЛ НА 16 РАУНДОВ (ТОЧКА ОТРАЖЕНИЯ)



## MITM-ОРАКУЛ НА 8 РАУНДОВ (ФИКС. ТОЧКА)



## МЕТОД 2: ПАРАЛЛЕЛЬНЫЙ ПОИСК

1. Квантовым образом для всех  $q$  пар ОТ/ШТ формируется суперпозиции  $|L_1\rangle, \dots, |L_q\rangle$ , содержащие ключи этапа MITM с усиленными амплитудами –  $q \cdot 2^{\lfloor \log_2 q \rfloor / 2}$  итераций

**Трудоемкость:**  $T_{M2} = q(\sqrt{T_{mitm}} + \sqrt{qT_{test}}) + T_{mitm} + \sqrt{T_{test}} \geq 2^{176}/2^{208}$

**Память:**  $O(1)$  классических ячеек,  $\geq 2^{65}$  кубит.

## МЕТОД 2: ПАРАЛЛЕЛЬНЫЙ ПОИСК

1. Квантовым образом для всех  $q$  пар ОТ/ШТ формируется суперпозиции  $|L_1\rangle, \dots, |L_q\rangle$ , содержащие ключи этапа MITM с усиленными амплитудами –  $q \cdot 2^{\lfloor \log_2 q \rfloor / 2}$  итераций
2. Выполняется квантовый поиск с использованием QRAQM на 3-х дополнительных парах ОТ/ШТ в системе  $|L_1\rangle, \dots, |L_q\rangle|i\rangle$ . Находится индекс  $|i\rangle$  системы, в которой содержится истинный ключ

**Трудоемкость:**  $T_{M2} = q(\sqrt{T_{mitm}} + \sqrt{qT_{test}}) + T_{mitm} + \sqrt{T_{test}} \geq 2^{176}/2^{208}$

**Память:**  $O(1)$  классических ячеек,  $\geq 2^{65}$  кубит.

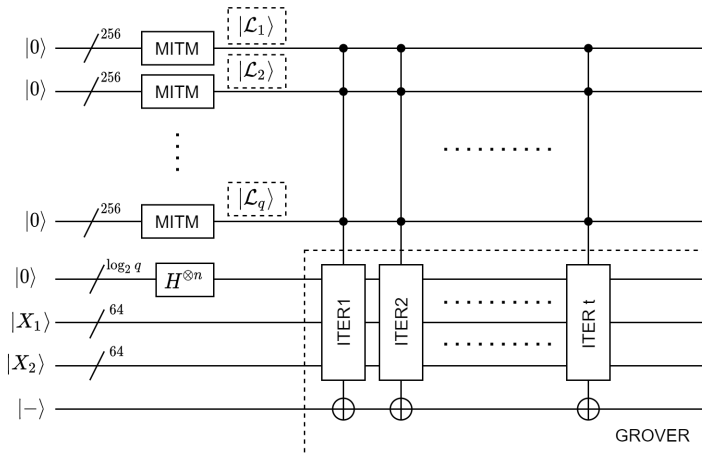
## МЕТОД 2: ПАРАЛЛЕЛЬНЫЙ ПОИСК

1. Квантовым образом для всех  $q$  пар ОТ/ШТ формируется суперпозиции  $|L_1\rangle, \dots, |L_q\rangle$ , содержащие ключи этапа MITM с усиленными амплитудами –  $q \cdot 2^{\lfloor \log_2 q \rfloor / 2}$  итераций
2. Выполняется квантовый поиск с использованием QRAQM на 3-х дополнительных парах ОТ/ШТ в системе  $|L_1\rangle, \dots, |L_q\rangle|i\rangle$ . Находится индекс  $|i\rangle$  системы, в которой содержится истинный ключ
3. При  $i$ -ой паре повторно выполняется MITM-атака

**Трудоемкость:**  $T_{M2} = q(\sqrt{T_{mitm}} + \sqrt{qT_{test}}) + T_{mitm} + \sqrt{T_{test}} \geq 2^{176}/2^{208}$

**Память:**  $O(1)$  классических ячеек,  $\geq 2^{65}$  кубит.

## МЕТОД 2: ПАРАЛЛЕЛЬНЫЙ ПОИСК (2)



## МЕТОД 3: ДВЕ СПЕЦИАЛЬНЫЕ ТОЧКИ (1)

1. Известны две симметричные фиксированные точки вида  $(X, X)$  и  $(\tilde{X}, \tilde{X})$

**Средняя трудоемкость:**  $T_{M3}/2^{-64} = (T_{mitm} + \sqrt{T_{test}})/2^{-64} \geq 2^{192}$



О. KARA, F. KARAKOÇ (2012)

**FIXED POINTS OF SPECIAL TYPE AND CRYPTANALYSIS OF FULL GOST**

## МЕТОД 3: ДВЕ СПЕЦИАЛЬНЫЕ ТОЧКИ (1)

1. Известны две симметричные фиксированные точки вида  $(X, X)$  и  $(\tilde{X}, \tilde{X})$
2. Выполняется MITM-атака на 8 раундов, формируется список  $2^{128}$  ключей  $L$

**Средняя трудоемкость:**  $T_{M3}/2^{-64} = (T_{mitm} + \sqrt{T_{test}})/2^{-64} \geq 2^{192}$



O. KARA, F. KARAKOÇ (2012)

**FIXED POINTS OF SPECIAL TYPE AND CRYPTANALYSIS OF FULL GOST**

## МЕТОД 3: ДВЕ СПЕЦИАЛЬНЫЕ ТОЧКИ (1)

1. Известны две симметричные фиксированные точки вида  $(X, X)$  и  $(\tilde{X}, \tilde{X})$
2. Выполняется MITM-атака на 8 раундов, формируется список  $2^{128}$  ключей  $L$
3. Выполняется квантовый поиск с использованием QRASM на 2-х дополнительных парах ОТ/ШТ в списке  $L$

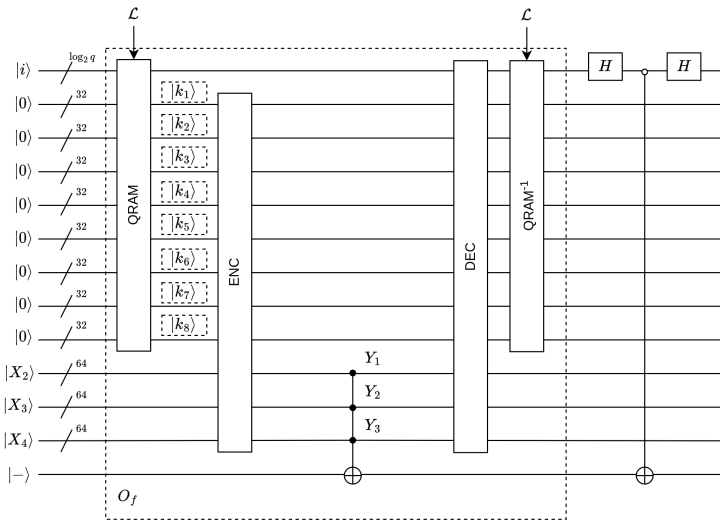
**Средняя трудоемкость:**  $T_{M3}/2^{-64} = (T_{mitm} + \sqrt{T_{test}})/2^{-64} \geq 2^{192}$



О. KARA, F. KARAKOÇ (2012)

**FIXED POINTS OF SPECIAL TYPE AND CRYPTANALYSIS OF FULL GOST**

# МЕТОД 3: ОДНА ИТЕРАЦИЯ



# ОСОБЕННОСТИ ПРЕДЛОЖЕННЫХ МЕТОДОВ

1. Работают в модели Q1 – требуется только оффлайн-вычислитель

## ОСОБЕННОСТИ ПРЕДЛОЖЕННЫХ МЕТОДОВ

1. Работают в модели Q1 – требуется только оффлайн-вычислитель
2. Требуют доступа к квантовой памяти (QRACM/QRAQRM)

## ОСОБЕННОСТИ ПРЕДЛОЖЕННЫХ МЕТОДОВ

1. Работают в модели Q1 – требуется только оффлайн-вычислитель
2. Требуют доступа к квантовой памяти (QRASM/QRAQRM)
3. Используют схемы меньшей, чем у алгоритма Гровера глубины ( $< 2^{128}$ )

## МЕТОД DONG ET AL. (1)

Предложены атаки на 30 и 32 раунда «Магмы» соответственно в модели **Q2**.

Используются свойства «точка отражения» (30 раундов) и «фиксированная точка» (32 раунда):

1. Квантовый поиск выполняется в пространстве  $X, k_1, \dots, k_5$  (224 бит /  $2^{112}$  итераций)
2. Ключи  $k_6, k_7, k_8$  вычисляются из  $X, k_1, \dots, k_5$
3. Каждую итерацию совершается запрос к оракулу Q2

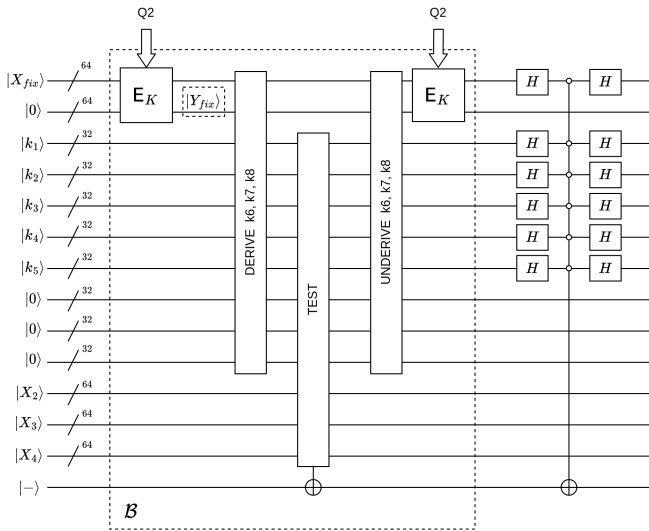
**Трудоемкость:**  $2^{112}$  итераций алгоритма Гровера



X. DONG, B. DONG, X. WANG.

**QUANTUM ATTACKS ON SOME FEISTEL BLOCK CIPHERS**

# МЕТОД DONG ET AL. (2)



## РЕЗУЛЬТАТЫ

Атака	Условия	Трудоёмкость	Память	Материал
<b>Классические</b>				
Isobe	Q0	$2^{224}$	$2^{64}$ С	$2^{32}$
Dinur et al.	Q0	$2^{192}$	$2^{64}$ С	$2^{64}$
Kara, Karakoç	Q0	$2^{192}$	$2^{64}$ С	$2^{64}$
<b>Квантовые</b>				
<b>Гровер</b>	<b>Q1</b>	$2^{128}$	<b>513 Q</b>	<b>4</b>
Наст. работа	Q1	$2^{192} / 2^{224}$	$2^{128}$ С	$2^{32} / 2^{64}$
Наст. работа	Q1	$2^{176} / 2^{208}$	$2^{65}$ Q	$2^{32} / 2^{64}$
Наст. работа	Q1	$2^{176}$	$2^{128}$ С	<b>4</b>
Dong et al.	Q2	$2^{112}$	<b>513 Q</b>	$2^{112}$ *

\* – запросов к оракулу Q2

# ЗАКЛЮЧЕНИЕ

1. Предложены методы криптоанализа алгоритм «Магма» на основе точек отражения, фиксированных точек, их комбинации

## ЗАКЛЮЧЕНИЕ

1. Предложены методы криптоанализа алгоритм «Магма» на основе точек отражения, фиксированных точек, их комбинации
2. Рассмотренные методы обладают не меньшей трудоемкостью, чем универсальная оценка ( $2^{128}$  по алгоритму Гровера)

## ЗАКЛЮЧЕНИЕ

1. Предложены методы криптоанализа алгоритм «Магма» на основе точек отражения, фиксированных точек, их комбинации
2. Рассмотренные методы обладают не меньшей трудоемкостью, чем универсальная оценка ( $2^{128}$  по алгоритму Гровера)
3. К настоящему времени неизвестно эффективных оффлайн-атак (в модели Q1) на алгоритм «Магма» – шифр остается стойким при появлении квантового компьютера



РусКрипто

СПАСИБО  
ЗА ВНИМАНИЕ